

I-405 FEMによる根入れ構造物の3次元動的解析法の開発

岡山大学工学部 正員 竹宮 宏和

岡山大学大学院 学生員 ○平松 恵美子

1. まえがき 地盤と構造物の地震時の動的相互作用の重要性が認識され、数多くの研究がなされてきている。著者らも、従来より、当該問題に対して軸対称モデルによる3次元解析手法を動的サブストラクチャ法を採用して提案してきた(SUBSSIP-A3D)¹⁾。本研究は、各種の根入れ基礎構造物を有する地盤-構造物系の動特性の評価にあたり、それらの3次元性に注目し、より合理的な3次元動的解析手法の開発を目的としたものである。前回報告のケーソン基礎に対する剛体あるいは弾性根入れ基礎解析に加え、今回、地中タンク構造物の弾性挙動にも対応できるように拡張した。ベルヌーイ・オイラー梁を導入した群杭-地盤系のモデル化も行ったので併せて報告する。

2. 地盤-基礎系の有限要素モデル

【地盤のモデル化】 基礎周辺の地盤を有限要素化するにあたり、まず軸対称モデル化を考える。そのときの変位ベクトルは円筒座標系で、周方向にフーリエ変換すると、

$$U_{r\theta z} = H(\theta) \hat{U}_{r\theta z} \quad (1)$$

ここに、 $\hat{U}_{r\theta z} = \{ \hat{u}_r, \hat{u}_\theta, \hat{u}_z \}^T$ で、 $\hat{U}_{r\theta z}$ はフーリエ振幅の対称、逆対称モードから成り、 $H(\theta)$ はフーリエ級数係数である。

同様に単位ラジアン当たりの力に対しても、

$$P_{r\theta z} = H(\theta) \hat{P}_{r\theta z} \quad (2)$$

いま、式(1)に対して $r-z$ 面内で有限要素化し、縮合操作によって周辺地盤の動的効果を、基礎とのインターフェイスにおけるインピーダンス関数とそれへの有効入力として評価すると、地盤部の運動方程式は、

$$\hat{D}_{r\theta z}^{ii*} \hat{U}_{r\theta z}^i = \hat{P}_{r\theta z}^i + \hat{P}_{r\theta z}^{i0*} \quad (3)$$

ここで、 \hat{D} は動的剛性マトリクスで、 i はインターフェイス節点を示す。

【剛体による基礎のモデル化】 図1に示すように、剛体による基礎のモデル化を考える。このとき、基礎の運動方程式は、

$$D_{xyz}^f U_{xyz}^f = -P_{xyz}^f + P_{xyz}^{f0} \quad (4)$$

剛結条件より求まる変位の適合条件と、周辺地盤とのインターフェイスでの力のつり合いにより、上式(4)と式(3)から、地盤-基礎系の連成運動方程式は、

$$(D_{xyz}^f + T^{i\tau} D_{r\theta z}^{ii*} \alpha^{-1} \Gamma^i) U_{xyz}^f = T^i P_{r\theta z}^{i0*} + P_{xyz}^{f0} \quad (5)$$

詳しい定式化は、文献2を参照されたい。

【3次元ソリッド要素による基礎とその近傍地盤のモデル化】 任意の基礎断面を取り扱うため、図2に示すように、基礎とそれに接する近傍地盤を含めて3次元ソリッド要素で表現する。3次元ソリッド要素による基礎および近傍地盤の運動方程式は、

$$\begin{bmatrix} \bar{D}^{ee} & \bar{D}^{ei} \\ \bar{D}^{ie} & \bar{D}^{ii} \end{bmatrix}_{xyz} \begin{bmatrix} \bar{U}^e \\ \bar{U}^i \end{bmatrix}_{xyz} = \begin{bmatrix} \bar{P}^e \\ \bar{P}^i \end{bmatrix}_{xyz} + \begin{bmatrix} \bar{P}^{e0} \\ \bar{P}^{i0} \end{bmatrix}_{xyz} \quad (6)$$

上式(6)と式(3)から、地盤-基礎系の運動方程式は、

$$\begin{bmatrix} \bar{D}^{ee} & \bar{D}^{ei} (\bar{6} \bar{H}) \\ (\bar{6} \bar{H})^T \bar{D}^{ie} & (\bar{6} \bar{H})^T \bar{D}^{ii} (\bar{6} \bar{H}) + \alpha \hat{D}_{r\theta z}^{ii*} \end{bmatrix} \begin{bmatrix} \bar{U}_{xyz}^e \\ \hat{U}_{r\theta z}^i \end{bmatrix} = \begin{bmatrix} \bar{P}_{xyz}^e \\ \hat{P}_{r\theta z}^i \end{bmatrix} + \begin{bmatrix} \bar{P}_{xyz}^{e0} \\ \hat{P}_{r\theta z}^{i0*} \end{bmatrix} \quad (7)$$

詳しい定式化については文献2を参照されたい。

3. 地中タンクとその近傍地盤のモデル化

タンク構造物が地震荷重を受けた場合の弾性挙動は、その形状がフーリエ級数展開を利用して、低次の $n=0,1,2,3$ で近似できる。

いま、図3に示すように、3次元ソリッド要素でモデル化した地盤に囲まれたタンクを考える。この3次元領域とタンク部(3次元軸対称領域)のインターフェイス節点は、8節点/1リングとすれば、フーリエモードのうち $n=0,1,2,3$ の軸対称、非軸対称モードを決定することができる。つまり、両領域のインターフェイスの節点で、3次元領域の変位 U_{xyz}^f を3次元軸対称領域の変位のフーリエ振幅 $\hat{U}_{r\theta z}^f$ で次のように表せる。

$$U_{xyz}^f = [G \ H] \hat{U}_{r\theta z}^f \quad (8)$$

ここで、

$$U_{xyz}^{fT} = \{ U_1 \ U_2 \ U_3 \ U_4 \ U_5 \ U_6 \ U_7 \ U_8 \}_{xyz}$$

$$\hat{U}_{r\theta z}^{fT} = \{ \hat{u}_0^s \ \hat{u}_0^a \ \hat{u}_1^s \ \hat{u}_1^a \ \hat{u}_2^s \ \hat{u}_2^a \ \hat{u}_3^s \ \hat{u}_3^a \}_{r\theta z}$$

また、

$$[G \ H] = \begin{bmatrix} IG(\theta_1)H_0^s(\theta_1) & IG(\theta_1)H_0^a(\theta_1) & \dots & -IG(\theta_2)H_3^s(\theta_2) \\ IG(\theta_2)H_0^s(\theta_2) & IG(\theta_2)H_0^a(\theta_2) & \dots & -IG(\theta_2)H_3^s(\theta_2) \\ \vdots & \vdots & \ddots & \vdots \\ IG(\theta_n)H_0^s(\theta_n) & \dots & \dots & -IG(\theta_n)H_3^s(\theta_n) \end{bmatrix}$$

このことより、変位の適合条件と力のつり合いの下でタンクとその

周辺地盤との連成振動を図ることができる。その結果、運動方程式

$$\begin{bmatrix} (\bar{G}H)^T \bar{D}_{xyz}^{ff} (\bar{G}H) + \alpha \bar{D}_{r\theta z}^{ff} & (\bar{G}H)^T \bar{D}_{xyz}^{fe} \\ \bar{D}_{xyz}^{ef} (\bar{G}H) & \bar{D}_{xyz}^{ee} \end{bmatrix} \begin{bmatrix} \hat{u}_{r\theta z}^f \\ \hat{u}_{xyz}^e \end{bmatrix} = \begin{bmatrix} \hat{p}_{r\theta z}^f \\ \hat{p}_{xyz}^e \end{bmatrix} + \begin{bmatrix} \hat{p}_{r\theta z}^{f0} \\ \hat{p}_{xyz}^{e0} \end{bmatrix} \quad (9)$$

3. ベルヌーイ・オイラー梁を導入した杭-地盤系の有限要素モデル化 杭-地盤系において、杭周辺の地盤のインピーダンス効果を求めるに際して、杭と地盤の間のキネマチックな相互作用を評価するため、ベルヌーイ・オイラー梁モデルによる定式化を行った。

この場合、線要素としてののみでモデル化したときのように群杭をリング杭とし直接軸対称モデル化できない。つぎのように、直交座標系でのフレキシビリティを求める。動的サブストラクチャ法から、群杭を仮想の地盤杭とそれだけ低減された修正杭に分割する(図4参照)。この仮想地盤杭(ある特定の杭)に調和加振状態を考えた場合、他の地盤杭位置の応答 $\hat{u}_{r\theta z}^{ij}$ を求める。ここに、 $\hat{u}_{r\theta z}^{ij}$ は、円筒座標系でのフーリエ振幅で、iは加振点、jは応答点を表す。次に、応答 $\hat{u}_{r\theta z}^{ij}$ は、フーリエ係数マトリックス $\mathbb{P}(\theta)$ と直交座標への変換マトリックス $\mathbb{G}(\theta)$ を使って、

$$\mathbb{U}_{xyz}^{ij} = (\mathbb{G}H) \hat{\mathbb{U}}_{r\theta z}^{ij} = \mathbb{F}_{xyz}^{ij} \mathbb{P}_{xyz}^{ij} \quad (10)$$

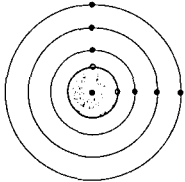


図1 剛体基礎のモデル

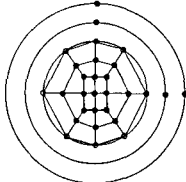


図2 矩形基礎のモデル

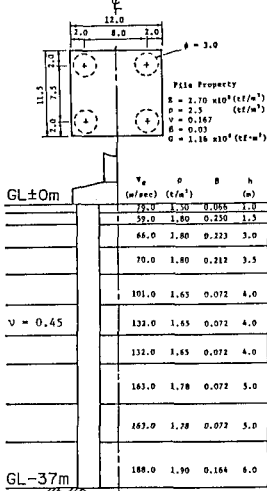


図5 解析対象構造物

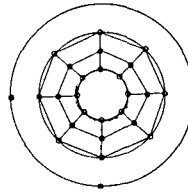


図3 タンクのモデル

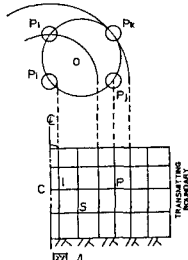


図4 ベルヌーイ・オイラー梁モデルによる地盤-杭系の有限要素モデル

と書ける。ここに \mathbb{F}_{xyz}^{ij} は地盤杭のフレキシビリティを定義しており、したがって、杭周辺の地盤インピーダンスは

$$\mathbb{D}_{xyz} = \mathbb{F}_{xyz}^{-1} \quad (11)$$

杭本数が多い場合、修正杭とともにリング杭モデル化できる。杭頭自由度における運動方程式に縮合したのち、再び、座標変換により直交座標に戻す。そのとき、式(5)と同一の表現を得る。逆に、杭本数が少ない場合、杭の3次元マトリックス解析に細込むことができる。その結果、

$$(\mathbb{D}_{xyz}^f + \mathbb{T}^T \mathbb{D}_{xyz}^{ij} \mathbb{T}) \mathbb{U}_{xyz}^f = \mathbb{T}^T \mathbb{P}_{xyz}^{i0} + \mathbb{P}_{xyz}^{f0} \quad (12)$$

4. 解析結果および考察 解析対象構造物として、図5にある4本杭を有する群杭-地盤系を選んだ。フーチング下端で評価したインピーダンス関数に着目して、ベルヌーイ・オイラー梁モデル解と、線要素はりモデル、Green関数による有限要素解の比較を図6に示す。ベルヌーイ・オイラー梁モデル解とGreen関数による有限要素解は地盤の評価において同一の考え方をしているため、両者は高振動数まで対応が良好であるが、線要素モデルは地盤とのキネマチックな相互作用を忠実に表現できないため、これらの差が高振動数領域で現れる。

参考文献

- 1) Takemiya, H.: Three-Dimensional Seismic Analysis For Soil-Foundation-Superstructure Based On Dynamic Substructure Method, PROC OF JSCE Structural /Eng. Earthquake Eng. Vol.12, No.1, 1985, 4
- 2) 竹宮、合田、平松: 掘入れ基礎構造物の3次元動的解析: 土木学会全国大会論文要集, 1986年
- 3) 竹宮、田中: 群杭基礎構造物の動的解析法とその耐震性評価: 土木学会論文要集, 1987年

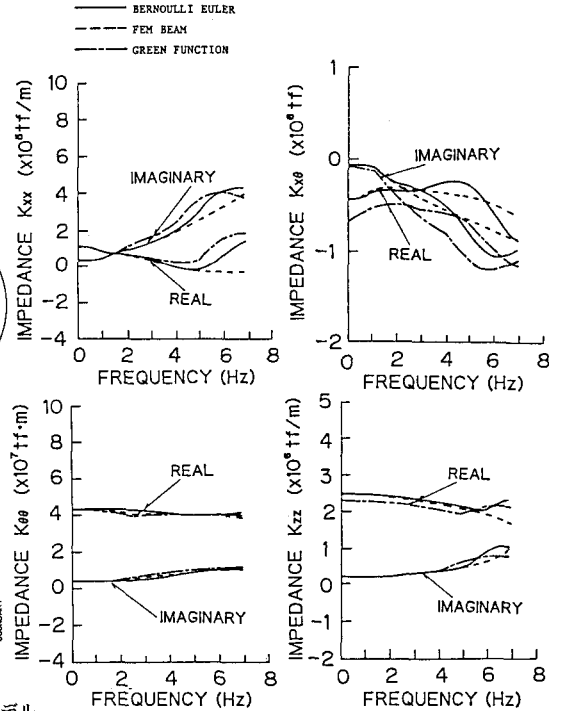


図6 フーチング下端でのインピーダンス関数